

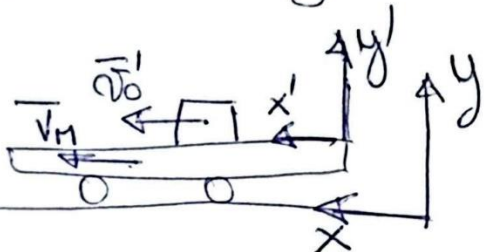
D) @ Sistema $m + M + \text{resorte}$

- Se conserva \bar{P} debido a que \bar{F}^{ext} son nulas

$$\bar{F}^{\text{ext}} = m\bar{g} + M\bar{g} + \underbrace{\bar{N}_S}_{\text{reacción del piso}}$$

- No se conserva E_{mec} debido al trabajo de las fuerzas de rozamiento aplicadas sobre m y M (par de interacción). Si bien los trabajos tienen signos opuestos no se cancelan ya que los desplazamientos de ambos cuerpos respecto al piso son diferentes.

B) \bar{P} cte $\Rightarrow \bar{P}_{\text{total}} = 0 \Rightarrow \bar{P} = 0 \forall t$



$$\bar{v}_{cm}^I \Big|_{S^I} = \bar{v}_0^I = v_0 \hat{u}^I$$

$$\bar{v}_M \Big|_S = v_M \hat{u} \quad v_M = ?$$

$$\bar{P} = 0 = m \underbrace{\bar{v}_{cm}}_{\text{resp de } S} + M \bar{v}_M = m (\bar{v}_M + \bar{v}_{cm}') + M \bar{v}_M$$

$$= (m + M) V_M \hat{u} + m v_0 \hat{u} \Rightarrow V_M = - \frac{m}{m+M} v_0$$

$$\therefore \boxed{\bar{V}_M = - \frac{v_0}{4} \hat{u}}$$

③ Como $\bar{P} = 0 \Rightarrow \bar{V}_{CM} = 0 \Rightarrow \bar{R}_{CM} = \text{cte}$

Calcularemos la posición del CM en el instante que la partícula se separa del resorte y la igualaremos a la posición de CM cuando la partícula ~~decomió~~ una distancia d de la plataforma

$$\bar{R}_{CM} = \frac{m l_0 \hat{i} + M l/2 \hat{i}}{m+M}$$

$$\bar{R}_{CM} = [m(l_0 + d - l) \hat{i} + M(l/2 - l) \hat{i}] \frac{1}{m+M}$$

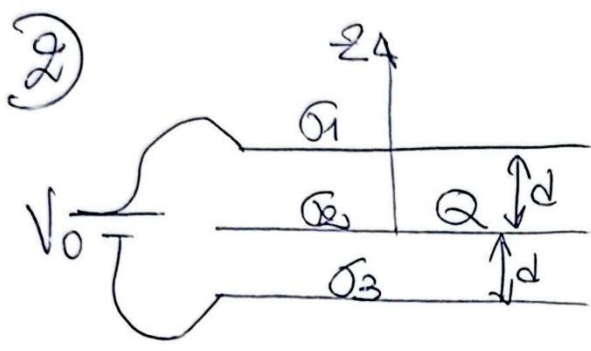
$$\Rightarrow \cancel{\frac{m l_0 + M l/2}{m+M}} = \cancel{\frac{m l_0 + m d - m l + M l/2 - M l}{m+M}}$$

$$0 = m d - (m+M) l$$

$$\Rightarrow l = \frac{m d}{m+M}$$

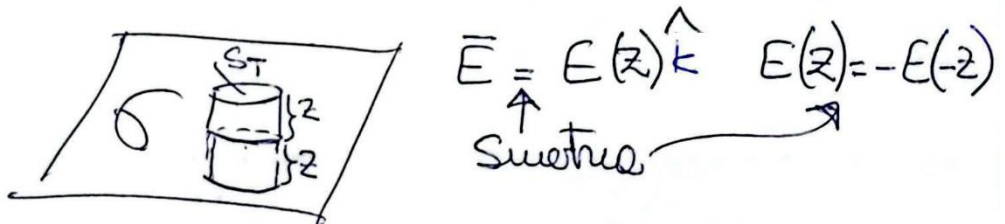
$$l = \frac{d}{4}$$

Como $\bar{v}_m = 0$, usando la expresión de \bar{P} del punto b) $\Rightarrow \boxed{\bar{V}_M = 0}$



$$\begin{aligned} \sigma_2 &\equiv Q/A \\ Q_1 + Q_3 &= 0 = A(\sigma_1 + \sigma_3) \\ \Rightarrow \sigma_1 + \sigma_3 &= 0 \end{aligned}$$

Planteo la diferencia de potencial entre ① y ③. Para ello necesito conocer el campo eléctrico en lo que $-d \leq z \leq d$. Si luego un plano infinito cargado



Aplico Gauss al cilindro de la figura

$$\oint_S \bar{E} \cdot d\bar{s} = \iint_{S_{top}} \bar{E} \cdot d\bar{s} + \iint_{S_{lat}} \bar{E} \cdot d\bar{s} + \iint_{S_{bottom}} \bar{E} \cdot d\bar{s}$$

$\bar{E} = E(z) \hat{k}$
 $d\bar{s} = dS \hat{k}$
 $S_{lat} = 0$ porque $\bar{E} \perp d\bar{s}$
 $\bar{E}_{bottom} = E(-z) \hat{k}$
 $= -E(z) \hat{k}$

$$= E(z)S + E(z)S = 2SE(z) = \frac{Q_{enc}}{\epsilon_0}$$

$$Q_{enc} = \sigma S \Rightarrow E(z) = \frac{\sigma}{2\epsilon_0}$$

$$\therefore \bar{E}(z) = \begin{cases} \frac{\sigma}{2\epsilon_0} \hat{k} & z > 0 \\ -\frac{\sigma}{2\epsilon_0} \hat{k} & z < 0 \end{cases}$$

②)

Si despreciamos los efectos de borde en el campo entre los planos tendremos

$$0 < z < d : E(z) = -\frac{\sigma_1}{2\epsilon_0} + \frac{\sigma_2}{2\epsilon_0} + \frac{\sigma_3}{2\epsilon_0}$$

$$-d < z < 0 : E(z) = -\frac{\sigma_1}{2\epsilon_0} - \frac{\sigma_2}{2\epsilon_0} + \frac{\sigma_3}{2\epsilon_0}$$

$$\begin{aligned} \Rightarrow V_0 &= V_1 - V_3 = - \int_{-d}^0 \bar{E} \cdot d\vec{r} = - \int_{-d}^0 \bar{E}(z) dz \hat{k} \\ &= - \int_{-d}^0 \frac{(\sigma_3 - \sigma_1 - \sigma_2)}{2\epsilon_0} dz - \int_0^d \frac{(\sigma_2 + \sigma_3 - \sigma_1)}{2\epsilon_0} dz \\ &= - \frac{(\sigma_3 - \sigma_1 - \sigma_2)d}{2\epsilon_0} - \frac{(\sigma_2 + \sigma_3 - \sigma_1)d}{2\epsilon_0} \end{aligned}$$

$$\Rightarrow V_0 = \frac{(2\sigma_1 - 2\sigma_3)d}{2\epsilon_0} = \frac{(\sigma_1 - \sigma_3)d}{\epsilon_0}$$

Entonces

$$\left. \begin{array}{l} \sigma_1 + \sigma_3 = 0 \\ \sigma_1 - \sigma_3 = \frac{\epsilon_0 V_0}{d} \end{array} \right\} \Rightarrow$$

$$\left. \begin{array}{l} \sigma_1 = \frac{\epsilon_0 V_0}{2d} \\ \sigma_3 = -\frac{\epsilon_0 V_0}{2d} \end{array} \right\}$$

B) Con los datos de a) tenemos que, para la zona de los planos

$$\bar{E}(z) = \begin{cases} \frac{\sigma_2}{2\epsilon_0} \hat{k} & z > d \\ \left(-\frac{V_0}{2d} + \frac{\sigma_2}{2\epsilon_0}\right) \hat{k} & 0 < z < d \\ \left(-\frac{V_0}{2d} - \frac{\sigma_2}{2\epsilon_0}\right) \hat{k} & -d < z < 0 \\ -\frac{\sigma_2}{2\epsilon_0} \hat{k} & z < -d \end{cases}$$

En las zonas entre 1 y 3 la contribución de estos planos es $-\frac{\sigma_1 + \sigma_3}{2\epsilon_0} = -\frac{V_0}{2d}$ según el resultado de a). Fuera de la zona entre 1 y 3 $\sigma_1 + \sigma_3 = 0 \Rightarrow$ solo contribuye el campo generado por el plazo 2.

$$\begin{aligned} C) V_{P_1} - V_{P_2} &= - \int \bar{E} \cdot d\vec{r} = \\ &= - \underbrace{\int_{-2d}^{-d} \left(-\frac{\sigma_2}{2\epsilon_0}\right) dz}_{①} - \underbrace{\int_{-d}^d \bar{E} \cdot d\vec{r}}_{V_0} - \underbrace{\int_d^{2d} \frac{\sigma_2}{2\epsilon_0} dz}_{②} \\ \Rightarrow ① + ② &= 0 \Rightarrow \boxed{V_{P_1} - V_{P_2} = V_0} \end{aligned}$$

③ Si $Q=0$, el campo fuera de los planos es nulo \Rightarrow el punto c) No cambia.

Respecto de a), el campo ahora será

$$0 < z < d : E(z) = \frac{\sigma_3 - \sigma_1}{2\epsilon_0 \epsilon_r} = \frac{\sigma_3 - \sigma_1}{4\epsilon_0}$$

$$-d < z < 0 : E(z) = \frac{\sigma_3 - \sigma_1}{2\epsilon_0}$$

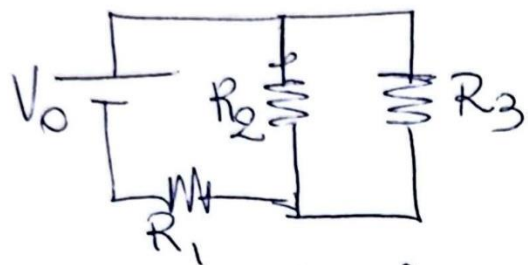
$$\Rightarrow V_0 = -\frac{(\sigma_3 - \sigma_1)d}{4\epsilon_0} - \frac{(\sigma_3 - \sigma_1)d}{2\epsilon_0} \Rightarrow$$

$$V_0 = \frac{3}{4} \frac{(\sigma_1 - \sigma_3)d}{\epsilon_0} \Rightarrow \sigma_1 - \sigma_3 = \frac{4}{3} \frac{\epsilon_0 V_0}{d}$$

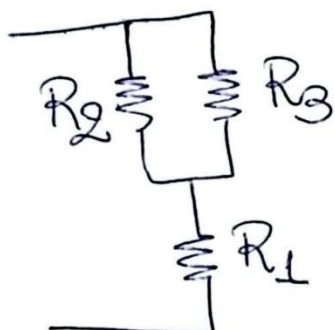
$$\therefore \boxed{\sigma_1 = -\sigma_3 = \frac{2}{3} \frac{\epsilon_0 V_0}{d}}$$

Las densidades de carga son mayores para compensar la pérdida dielectrica.

(3)



a) Desde la fuente terminal

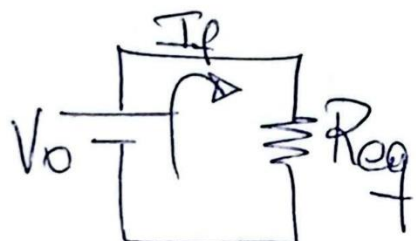


$$R_{eq} = R_1 + R_2 \parallel R_3$$

$$= R + \frac{R^2}{2R} = R + \frac{R}{2}$$

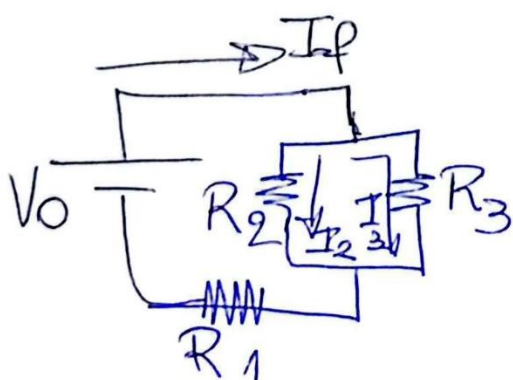
$$R_{eq} = \frac{3}{2} R$$

(b)



$$R_f = \frac{V_0}{R_{eq}} = \frac{2}{3} \frac{V_0}{R}$$

(c)



$$I_f = I_2 + I_3$$

$$I_2 R_2 = I_3 R_3$$

$$I_2 R = I_3 R$$

$$I_2 = I_3$$

$$\Rightarrow I_3 = \frac{I_f}{2} = \frac{V_0}{3R}$$

$$P_{R_3} = I_3^2 R = \frac{V_0^2}{9R}$$